

РАДИОФИЗИКА, ЭЛЕКТРОНИКА, АКУСТИКА

Исследование флюктуаций положения лучей при совместной диффузии в однородной среде со случайными неоднородностями

О. К. Власова^{1,a}, Л. И. Приходько^{2,b}¹ Центр гидрофизических исследований МГУ.² Московский государственный университет имени М. В. Ломоносова, физический факультет, кафедра физики атмосферы. Россия, 119991, Москва, Ленинские горы, д. 1, стр. 2.E-mail: ^avlasovaok@mail.ru, ^bl.prikhodko@mail.ru

Статья поступила 02.05.2010, подписана в печать 17.12.2010

Рассмотрены флюктуации положения двух лучей, распространяющихся в среде со случайными неоднородностями диэлектрической проницаемости. Решение задачи основано на методе диффузии луча. Получена плотность вероятностей для разности положения лучей в случае, когда начальное расстояние между лучами много меньше радиуса корреляции флюктуаций диэлектрической проницаемости.

Ключевые слова: случайно-неоднородные среды, диффузия луча, уравнение Эйнштейна–Фоккера.

УДК: 550.388.2. PACS: 41.20.Jb.

Введение

Исследование совместной диффузии двух лучей, распространяющихся в случайно-неоднородной среде, можно использовать для описания совместной диффузии N лучей. Такая постановка задачи позволяет подойти к вопросу о флюктуациях интенсивности волны из чисто геометрических соображений [1].

Метод диффузии луча, используемый в настоящей работе, основан на представлении в приближении геометрической оптики уравнений для положения и направления лучевого вектора в виде уравнений Ланжевена [2]

$$\frac{d\xi_i}{ds} = v_i(\xi, s) + f_i(\xi, s), \quad (1)$$

где $v_i(\xi, s)$ — детерминированные функции, $f_i(\xi, s)$ — случайные функции, обладающие следующими свойствами:

а) $f_i(\xi, s)$ — гауссово случайное поле;

$$\text{б) } \langle f_i(\xi, s) \rangle = 0; \quad (2)$$

$$\text{в) } \langle f_i(\xi, s) f_k(\xi', s') \rangle = 2\delta(s-s') F_{ik}(\xi, \xi', s) = B_{ik}(\xi, \xi'; s, s').$$

В этом случае плотность вероятностей для решения $\xi(s)$ системы (1) $P_s(x) = \langle \delta(\xi - x) \rangle$ удовлетворяет уравнению Эйнштейна–Фоккера

$$\frac{\partial P_s(x)}{\partial s} + \frac{\partial}{\partial x_k} \{ [v_k(x, s) + A_k(x, s)] \} - \frac{\partial^2}{\partial x_k \partial x_l} [F_{kl}(x, x, s) P_s(x)] = 0. \quad (3)$$

В уравнении (3) введено обозначение

$$A_k(x, s) = \left[\frac{\partial F_{kl}(x, x', s)}{\partial x'_l} \right]_{x'=x}. \quad (4)$$

В реальных задачах корреляционная функция B_{ik} не может быть записана в виде (2в). Для случая, когда условие δ -коррелированности нарушено, уравнение (3)

является приближенным, и под $F_{kl}(x, x', s)$ следует понимать величину

$$F_{kl}(x, x', s) = \int_0^s B_{kl}(x, x', s, s') ds',$$

предполагая, что $s \gg s_0$. Здесь s_0 — радиус корреляции функции $f(x, s)$ по переменной s .

Запись уравнений луча в виде уравнений Ланжевена подробно исследуется в [3]. Уравнения луча, следующие из принципа Ферма для изотропной среды, имеют вид

$$\frac{dr}{d\sigma} = \mathbf{S}, \quad \frac{d\mathbf{S}}{d\sigma} = \nabla_r \eta - \mathbf{S}(\mathbf{S} \nabla_r \eta), \quad (5)$$

где r, \mathbf{S} -векторы положения и направления луча, $\eta = \ln n$, $n = n(r)$ — показатель преломления среды, σ — длина дуги, пройденной лучом.

Поскольку случайной силой в лучевых уравнениях (5) является функция от показателя преломления, зависящего от r и не зависящего от σ , то условия (2в) не могут быть удовлетворены. В работе [1] предлагается способ перехода к уравнениям Ланжевена, заключающийся в замене в лучевых уравнениях длины дуги σ на координату z , вдоль которой первоначально направлен луч и от которой зависит показатель преломления. Такой переход возможен при условии, что отклонения луча от первоначального направления малы $\overline{\mathbf{S}_\perp^2} \ll 1$. В предположении, что флюктуации диэлектрической проницаемости малы:

$$\varepsilon = \varepsilon_0 + \alpha \varepsilon_\alpha, \quad \alpha \ll 1,$$

применяется метод малых возмущений в уравнениях луча, следующих из принципа Ферма (5). В результате получаем уравнения луча, соответствующие уравнениям (1):

$$\frac{dr_\perp}{dz} = \mathbf{S}_\perp, \quad \frac{d\mathbf{S}_\perp}{dz} = \frac{\alpha}{2\varepsilon_0} \nabla_{r_\perp} \varepsilon_\alpha(r_\perp, z), \quad (6)$$

z — координата, вдоль которой первоначально направлен луч, $\mathbf{r}_\perp \{x, y\}$, $\mathbf{S}_\perp \{S_x, S_y\}$ — векторы, обозначающие положение и направление луча в плоскости, перпендикулярной z . Решение задачи рассеяния луча на основании уравнений (6) и в предположении, что радиус корреляции флюктуаций диэлектрической проницаемости $r_0 \ll z$, позволило вычислить средний квадрат флюктуаций направления луча:

$$\overline{\mathbf{S}_\perp^2} = 2Dz, \quad D = \frac{\alpha^2 \varepsilon_\alpha^2 \sqrt{\pi}}{4\varepsilon_0^2 r_0}. \quad (7)$$

D — коэффициент диффузии луча, который возникает при вычислении коэффициентов уравнения (3). Таким образом, представленные выше условия

$$\overline{\mathbf{S}_\perp^2} \ll 1 \text{ или } Dz \sim \alpha^2 \varepsilon_\alpha^2 \frac{z}{r_0} \ll 1$$

предполагают, что флюктуаций диэлектрической проницаемости малы, что позволяет использовать метод малых возмущений.

В работе [2] была рассмотрена задача о совместной диффузии двух лучей, однако решить уравнение для плотности вероятностей $W(\mathbf{r}_{\perp 1}, \mathbf{r}_{\perp 2}, \mathbf{S}_{\perp 1}, \mathbf{S}_{\perp 2}, z)$ не удалось. В связи с этим нами уже была предпринята попытка изучения диффузии двух лучей без учета флюктуаций положения лучей [4]. В настоящей работе предложено описание совместной диффузии двух лучей плотностью вероятностей $W(\mathbf{r}_{\perp 1}, \mathbf{r}_{\perp 2}, z)$ и получено решение уравнения Эйнштейна–Фоккера для закона распределения расстояния между лучами в случае, когда начальное расстояние много меньше радиуса корреляции неоднородностей.

1. Уравнение Эйнштейна–Фоккера

Представим уравнения двух лучей в виде динамических стохастических уравнений типа уравнения Ланжевена (1), позволяющих перейти к уравнению Эйнштейна–Фоккера (3):

$$\frac{d\mathbf{r}_{\perp 1,2}}{dz} = \mathbf{S}_{\perp 1,2}, \quad \frac{d\mathbf{S}_{\perp 1,2}}{dz} = \frac{\alpha}{2\varepsilon_0} \nabla_{\mathbf{r}_{\perp 1,2}} \varepsilon_\alpha(\mathbf{r}_{\perp 1,2}, z), \quad (8)$$

где 1, 2 — номера лучей,

Как уже говорилось, решить уравнение Эйнштейна–Фоккера, следующее из уравнений (8), не удается [2]. В связи с этим запишем (8) в виде уравнений лишь для положения луча, а именно

$$\frac{d\mathbf{r}_{\perp 1,2}}{dz} = \frac{\alpha}{2\varepsilon_0} \int_0^z \nabla_{\mathbf{r}'_{\perp 1,2}} \varepsilon_\alpha(\mathbf{r}'_{\perp 1,2}, z') dz'. \quad (9)$$

Предполагаем далее, что (9) в результате описанных выше условий удовлетворяет требованиям (2), позволяющим перейти от динамического уравнения к уравнению Эйнштейна–Фоккера для плотности вероятностей $W(\mathbf{r}_{\perp 1}, \mathbf{r}_{\perp 2}, z)$ (3):

$$\begin{aligned} \frac{\partial W}{\partial z} + \frac{\partial}{\partial x_i}(A_{x_i} W) + \frac{\partial}{\partial y_i}(A_{y_i} W) = \\ = \frac{\partial^2}{\partial x_i \partial x_k}[F_{x_i x_k} W] + \frac{\partial^2}{\partial y_i \partial y_k}[F_{y_i y_k} W] + \frac{\partial^2}{\partial x_i \partial y_k}[F_{x_i y_k} W], \end{aligned}$$

где $i = 1, 2$.

Вычисление коэффициентов (см. введение) рассмотрим на примере вычисления $F_{x_1 x'_1}$ в предположении, что функция корреляции флюктуаций диэлектрической проницаемости является гауссоидой:

$$\begin{aligned} \rho(r) &= \frac{\langle \varepsilon_\alpha(\mathbf{r}') \varepsilon_\alpha(\mathbf{r}'') \rangle}{\varepsilon_\alpha^2} = e^{-r^2/r_0^2} = \\ &= e^{-[(x' - x'')^2 + (y' - y'')^2 + (z' - z'')^2]/r_0^2}, \\ F_{x_1 x'_1}(\mathbf{r}_{\perp 1}, \mathbf{r}'_{\perp 1}, z) &= \\ &= \frac{\alpha^2}{4\varepsilon_0^2} \int_0^z dz' \left\langle \int_0^{z'} \frac{\partial \varepsilon_\alpha(\mathbf{r}'_{\perp 1}, z'')}{\partial x''_1} dz'' \int_0^z \frac{\partial \varepsilon_\alpha(\mathbf{r}'_{\perp 1}, z''')}{\partial x'''_1} dz''' \right\rangle = \\ &= \frac{\alpha^2 \varepsilon_\alpha^2}{4\varepsilon_0^2 r_0} \int_0^z dz' \int_0^{z'} \int_0^z \frac{\partial^2 \rho}{\partial x''_1 \partial x'''_1} dz'' dz''' . \end{aligned}$$

Дифференцирование функции корреляции и переход к переменным разности и полусуммы при интегрировании $z = z'' - z'''$, $z_0 = \frac{z'' + z'''}{2}$ позволяет получить следующее выражение:

$$\begin{aligned} F_{x_1 x'_1} &= Dz^2 e^{-\Delta r_{\perp 1}^2/r_0^2} \left(1 - 2 \frac{(x_1 - x'_1)^2}{r_0^2}\right), \\ \Delta r_{\perp 1}^2 &= (x_1 - x'_1)^2 + (y_1 - y'_1)^2, \\ D &= \frac{\alpha^2 \varepsilon_\alpha^2 \sqrt{\pi}}{4\varepsilon_0^2 r_0}. \end{aligned} \quad (10)$$

Вычисляя по аналогии остальные коэффициенты и полагая в них $z = z'$ в соответствии с уравнением (3), получим

$$\begin{aligned} F_{x_1 x_1} &= F_{y_1 y_1} = F_{x_2 x_2} = F_{y_2 y_2} = Dz^2, \quad F_{x_1 y_1} = F_{x_2 y_2} = 0, \\ F_{x_1 x_2} &= Dz^2 e^{-\Delta r_{\perp 1}^2/r_0^2} \left(1 - 2 \frac{\Delta x^2}{r_0^2}\right), \\ F_{y_1 y_2} &= Dz^2 e^{-\Delta r_{\perp 1}^2/r_0^2} \left(1 - 2 \frac{\Delta y^2}{r_0^2}\right), \\ F_{x_1 y_2} &= F_{y_1 x_2} = -2Dz^2 e^{-\Delta r_{\perp 1}^2/r_0^2} \frac{\Delta x \Delta y}{r_0^2}, \\ \Delta x &= x_1 - x_2, \quad \Delta y = y_1 - y_2, \quad \Delta r_{\perp}^2 = \Delta x^2 + \Delta y^2. \end{aligned}$$

Согласно (4) коэффициенты A_{x_i}, A_{y_i} равны

$$\begin{aligned} A_{x_1} &= 4Dz^2 e^{-\Delta r_{\perp 1}^2/r_0^2} \frac{\Delta x}{r_0^2} \left(2 - \frac{\Delta r_{\perp 1}^2}{r_0^2}\right), \quad A_{x_2} = -A_{x_1}, \\ A_{y_1} &= 4Dz^2 e^{-\Delta r_{\perp 1}^2/r_0^2} \frac{\Delta y}{r_0^2} \left(2 - \frac{\Delta r_{\perp 1}^2}{r_0^2}\right), \quad A_{y_2} = -A_{y_1}. \end{aligned}$$

Уравнение Эйнштейна–Фоккера приобретает вид

$$\begin{aligned} \frac{\partial W}{\partial z} + \frac{\partial}{\partial x_i}(A_{x_i} W) + \frac{\partial}{\partial y_i}(A_{y_i} W) = \\ = 2Dz^2 \left(\frac{\partial^2 W}{\partial x_1^2} + \frac{\partial^2 W}{\partial y_1^2} + \frac{\partial^2 W}{\partial x_2^2} + \frac{\partial^2 W}{\partial y_2^2} \right) + \\ + 2Dz^2 e^{-\Delta r_{\perp 1}^2/r_0^2} \left[2 \left(\frac{\partial W}{\partial x_1} - \frac{\partial W}{\partial x_2} \right) \frac{\Delta x}{r_0^2} \left(2 - \frac{\Delta r_{\perp 1}^2}{r_0^2}\right) + \right. \end{aligned}$$

$$\begin{aligned}
& + 2 \left(\frac{\partial W}{\partial y_1} - \frac{\partial W}{\partial y_2} \right) \frac{\Delta y}{r_0^2} \left(2 - \frac{\Delta r_{\perp}^2}{r_0^2} \right) + \\
& + \left(1 - 2 \frac{\Delta y^2}{r_0^2} \right) \frac{\partial^2 W}{\partial y_1 \partial y_2} + \left(1 - 2 \frac{\Delta x^2}{r_0^2} \right) \frac{\partial^2 W}{\partial x_1 \partial x_2} - \\
& - 2 \frac{\Delta x \Delta y}{r_0^2} \left(\frac{\partial^2 W}{\partial x_1 \partial y_2} + \frac{\partial^2 W}{\partial x_2 \partial y_1} \right). \quad (11)
\end{aligned}$$

Предположим, что при $z = 0$ лучи расположены вдоль координаты x , координаты первого луча $\{0, 0\}$, второго $\{x_{02}, 0\}$, тогда начальные условия решения уравнения (11) таковы:

$$W(z=0) = \delta(\mathbf{r}_{\perp 1}) \delta(x_2 - x_{02}) \delta(y_2).$$

2. Решение уравнения Эйнштейна–Фоккера

Для решения уравнения (11) перейдем к переменным разности и полусуммы

$$\mathbf{r}_- = \mathbf{r}_{\perp 1} - \mathbf{r}_{\perp 2}, \quad \mathbf{r}_+ = \frac{\mathbf{r}_{\perp 1} + \mathbf{r}_{\perp 2}}{2}$$

и проинтегрируем полученное уравнение по y_+ , x_+ . В результате получаем уравнение для плотности вероятностей распределения расстояния между лучами $\tilde{W}(\mathbf{r}_-, z)$:

$$\begin{aligned}
\frac{\partial \tilde{W}(\mathbf{r}_-, z)}{\partial z} &= 2Dz^2 \left(\frac{\partial^2 \tilde{W}}{\partial x_-^2} + \frac{\partial^2 \tilde{W}}{\partial y_-^2} \right) - \\
&- 2Dz^2 e^{-\mathbf{r}_-^2/r_0^2} \left[\frac{\partial^2 \tilde{W}}{\partial x_-^2} \left(1 - 2 \frac{x_-^2}{r_0^2} \right) + \frac{\partial^2 \tilde{W}}{\partial y_-^2} \left(1 - 2 \frac{y_-^2}{r_0^2} \right) - \right. \\
&- 4 \frac{x_- y_-}{r_0^2} \frac{\partial^2 \tilde{W}}{\partial x_- \partial y_-} - 4 \frac{y_-}{r_0^2} \left(2 - \frac{\mathbf{r}_-^2}{r_0^2} \right) \frac{\partial \tilde{W}}{\partial y_-} - \\
&\left. - 4 \frac{x_-}{r_0^2} \left(2 - \frac{\mathbf{r}_-^2}{r_0^2} \right) \frac{\partial \tilde{W}}{\partial x_-} \right] \quad (12)
\end{aligned}$$

с начальными условиями

$$\tilde{W}(\mathbf{r}_-, z=0) = \delta(\mathbf{r}_- - \mathbf{r}_{-0}) = \delta(y_-) \delta(x_- - x_{02}).$$

Очевидно, что решить уравнение (12) в общем случае не удается. Из (12) следует, что, когда начальное расстояние между лучами много больше радиуса корреляции неоднородностей, относительная диффузия происходит с удвоенным коэффициентом диффузии по отношению к диффузии отдельного луча, что соответствует статистической независимости каждого луча. Поскольку в настоящей работе рассматривается случай малых флуктуаций положения луча, то в предположении, что начальное расстояние между лучами мало по сравнению с радиусом корреляции неоднородностей, будет справедливо и условие

$$\frac{\mathbf{r}_-^2}{r_0^2} \ll 1.$$

В этом случае уравнение (12) приобретает вид

$$\frac{\partial \tilde{W}}{\partial z} = 2Dz^2 \left\{ \left(3 \frac{x_-^2}{r_0^2} + \frac{y_-^2}{r_0^2} \right) \frac{\partial^2 \tilde{W}}{\partial x_-^2} + \right.$$

$$\begin{aligned}
& + \left(3 \frac{y_-^2}{r_0^2} + \frac{x_-^2}{r_0^2} \right) \frac{\partial^2 \tilde{W}}{\partial y_-^2} + 4 \frac{x_- y_-}{r_0^2} \frac{\partial^2 \tilde{W}}{\partial x_- \partial y_-} + \\
& + 8 \frac{y_-}{r_0^2} \frac{\partial \tilde{W}}{\partial y_-} + 8 \frac{x_-}{r_0^2} \frac{\partial \tilde{W}}{\partial x_-} \}. \quad (13)
\end{aligned}$$

Для решения (13) перейдем к полярной системе координат:

$$\begin{aligned}
x_- &= \rho \cos \varphi, \quad y_- = \rho \sin \varphi, \\
\rho &= \sqrt{x_-^2 + y_-^2}, \quad \varphi = \arctg \frac{y_-}{x_-}.
\end{aligned}$$

Получим для функции $\tilde{W}(\rho, \varphi)$ уравнение

$$\frac{\partial \tilde{W}(\rho, \varphi)}{\partial z} = \frac{6Dz^2}{r_0^2} \left\{ \rho^2 \frac{\partial^2 \tilde{W}}{\partial \rho^2} + \frac{1}{3} \frac{\partial^2 \tilde{W}}{\partial \varphi^2} + 3\rho \frac{\partial \tilde{W}}{\partial \rho} \right\}, \quad (14)$$

$$\tilde{W}(\rho, \varphi, z=0) = \delta(\rho - \rho_0) \delta(\varphi),$$

где $\rho_0 = x_{02}$.

Применяя далее метод разделения переменных, перейдем от (14) к следующим уравнениям:

$$\frac{\partial U(\varphi, z)}{\partial z} = \frac{2Dz^2}{r_0^2} \frac{\partial^2 U}{\partial \varphi^2}, \quad U(\varphi, z=0) = \delta(\varphi),$$

$$\frac{\partial V(\rho, z)}{\partial z} = \frac{6Dz^2}{r_0^2} \left\{ \rho^2 \frac{\partial^2 V}{\partial \rho^2} + 3\rho \frac{\partial V}{\partial \rho} \right\},$$

$$V(\rho, z=0) = \delta(\rho - \rho_0).$$

Решением первого уравнения является нормальное распределение с нулевым средним значением и дисперсией $\sigma_\varphi^2 = \frac{4Dz^3}{3r_0^2}$ [5].

Переходя в уравнении для $V(\rho, z)$ к переменной $u = \ln \rho$, получим для $\bar{V}(u)$ уравнение

$$\frac{\partial \bar{V}(u, z)}{\partial z} = \frac{6Dz^2}{r_0^2} \left(\frac{\partial^2 \bar{V}}{\partial u^2} + 2 \frac{\partial \bar{V}}{\partial u} \right)$$

и начальные условия

$$\bar{V}(u, z=0) = \delta(u - u_0), \quad u_0 = \ln \rho_0.$$

Решение последнего уравнения известно [6]:

$$\bar{V}(u, z) = \frac{1}{\sqrt{2\pi}\sigma(z)} \exp \left\{ -\frac{(u - u_0 + \sigma^2)^2}{2\sigma^2} \right\}, \quad \sigma^2 = \frac{4Dz^3}{r_0^2}.$$

В результате получаем для $V(\rho, z)$, учитывая якобиан преобразования, следующее выражение:

$$V(\rho, z) = \frac{1}{\sqrt{2\pi}\sigma\rho} \exp \left\{ -\frac{[\ln \rho - \ln \rho_0 + \sigma^2]^2}{2\sigma^2} \right\},$$

или, вводя безразмерную переменную $x = \frac{\rho}{\rho_0}$, получим

$$\tilde{V}(x, z) = \frac{1}{\sqrt{2\pi}\sigma x} \exp \left\{ -\frac{(\ln x + \sigma^2)^2}{2\sigma^2} \right\}, \quad (15)$$

так называемое логарифмически нормальное распределение, т.е. нормальное распределение для $\ln x$ с дисперсией σ^2 и средним значением $-\sigma^2$.

Исследование логнормальных процессов и их отношение к марковским процессам подробно описывается в работах [7, 8].

Графики логнормального распределения (15) представлены на рис. 1, 2. Поскольку распределение (15)

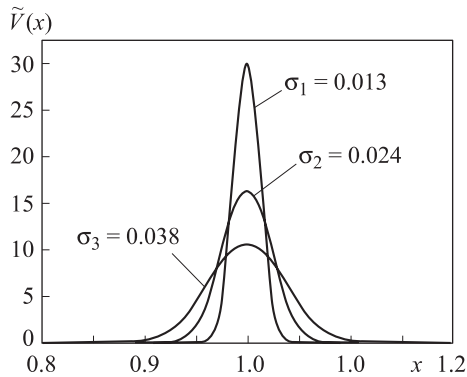


Рис. 1. Логарифмически нормальная плотность вероятностей расстояния между лучами (15) при распространении в тропосфере для различных значений z . Графики соответствуют значениям $\sigma_1 = 0.013$, $z_1 = 10$ км; $\sigma_2 = 0.024$, $z_2 = 15$ км; $\sigma_3 = 0.038$, $z_3 = 20$ км

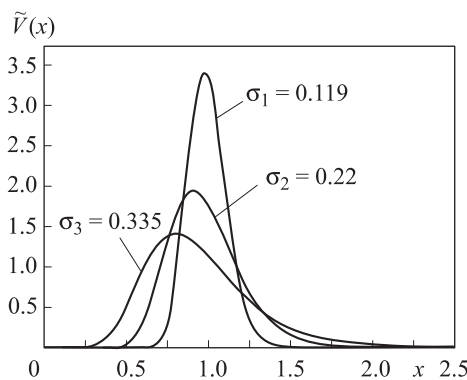


Рис. 2. Логарифмически нормальная плотность вероятностей расстояния между лучами (15) при распространении в E -слое ионосферы для различных значений z . Графики соответствуют значениям $\sigma_1 = 0.119$, $z_1 = 10$ км; $\sigma_2 = 0.219$, $z_2 = 15$ км; $\sigma_3 = 0.335$, $z_3 = 20$ км

характеризуется лишь одним параметром $\sigma^2 = \sqrt{\pi} \varepsilon_\alpha^2 \left(\frac{z}{r_0}\right)^3$, то рассмотрим зависимость распределения от пройденного лучами пути z , полагая остальные параметры фиксированными.

Рис. 1 иллюстрирует распределение (15) при рассеянии лучей в тропосфере [9]: $\varepsilon_\alpha^2 = 10^{-10}$, $r_0 = 0.1$ км, $z_1 = 10$ км, $z_2 = 15$ км, $z_3 = 20$ км; рис. 2 — при рассеянии в E -слое ионосферы: $\varepsilon_\alpha^2 = 10^{-6}$, $r_0 = 0.5$ км, $z_{1,2,3} = 10, 15, 20$ км. Как видно из графиков, плотность вероятностей резко возрастает в диапазоне от 0 до 1 по оси абсцисс, где $x = \frac{\rho}{\rho_0}$, а затем убывает, срываюсь к нулю. Чем больше пройденный лучом путь z , соответственно и σ , тем ниже уровень плотности вероятностей. Кроме того, с ростом z максимум плотности вероятностей все дальше отодвигается от 1 в сторону 0. Так, например, на рис. 2 для $z_1 = 10$ км, $\frac{\rho_{\max}}{\rho_0} = 0.97$; $z_2 = 15$ км, $\frac{\rho_{\max}}{\rho_0} = 0.90$; $z_3 = 20$ км, $\frac{\rho_{\max}}{\rho_0} = 0.79$.

Первые два момента распределения (15) равны

$$\bar{\rho} = \rho_0 e^{-\sigma^2/2}, \quad \bar{\rho}^2 = \rho_0^2.$$

Таким образом, с увеличением пройденного лучами пути уменьшается среднее расстояние между лучами. Для малых значений σ , характерных для условий тропосферного распространения (рис. 1), очевидно, не происходит заметного уменьшения среднего расстояния между лучами. В случае больших значений σ (рис. 2) наблюдается уменьшение среднего расстояния между лучами. Так, для $\sigma_{1,2,3}$ соответствующие

$$\bar{\rho}_1 = \rho_0 \cdot 0.99, \quad \bar{\rho}_2 = \rho_0 \cdot 0.98, \quad \bar{\rho}_3 = \rho_0 \cdot 0.94.$$

Последнее обстоятельство можно объяснить статистическим влиянием лучей друг на друга при приходжении ими достаточно большого пути в E -слое ионосферы, где дисперсия флуктуаций диэлектрической проницаемости значительно превосходит соответствующую дисперсию тропосферы.

Заметим, что более высокие моменты распределения (15) растут с увеличением пройденного расстояния, например:

$$\bar{\rho}^3 = \rho_0^3 e^{(3/2)\sigma^2}, \quad \bar{\rho}^4 = \rho_0^4 e^{4\sigma^2}.$$

Экспоненциальный рост моментов высших порядков объясняется в работе [7] наличием редких, но сильных выбросов на кривой реализации процесса $\rho(z)$.

Заключение

Представленное в виде уравнения Ланжеана уравнение луча (9) позволило решить задачу о совместной диффузии двух лучей в среде со случайными неоднородностями диэлектрической проницаемости для случая, когда расстояние между лучами значительно меньше радиуса корреляции неоднородностей. Полученное в результате решения уравнения Эйнштейна–Фоккера логарифмически нормальное распределение расстояния между лучами проанализировано для конкретных случаев рассеяния в атмосфере.

Список литературы

- Кляцкин В.И. Стохастические уравнения и волны в случайно-неоднородных средах. М., 1980.
- Кляцкин В.И., Татарский В.И. // Изв. вузов. Радиофизика. 1971. **14**, № 5. С. 707.
- Власова О.К. Развитие метода диффузии луча и решение некоторых задач рассеяния: Дисс. ... канд. физ.-мат. наук. М., 2004.
- Власова О.К., Приходько Л.И. // Вестн. Моск. ун-та. Физ. Астрон. 2009. № 4. С. 38.
- Чандрасекар С. Стохастические проблемы в физике и астрономии. М., 1947.
- Рытов С.М. Введение в статистическую радиофизику. Ч. 1. Случайные процессы. М., 1976.
- Кляцкин В.И., Саичев А.И. // Успехи физ. наук. 1992. **162**, № 3. С. 161.
- Кляцкин В.И. Стохастические уравнения. Теория и ее приложения к акустике, гидродинамике и радиофизике. Т. 1, 2. М., 2008.
- Файнберг Е.Л. Распространение радиоволн вдоль земной поверхности. М., 1961.

The study of fluctuations of the rays positions at the mutual diffusion in a medium with random inhomogeneities**O. K. Vlasova^{1,a}, L. I. Prikhod'ko^{2,b}**¹*Center of Hydrophysical Research, M. V. Lomonosov Moscow State University, Moscow 119991, Russia.*²*Department of Physics of Atmosphere, Faculty of Physics, M. V. Lomonosov Moscow State University, Moscow 119991, Russia.**E-mail:* ^a*vlasovaok@mail.ru*, ^b*l.prikhodko@mail.ru*.

Fluctuations of the positions of two rays, propagating in a medium with random inhomogeneities of dielectric permittivity, are considered. The probabilities density of the relative distance between the positions are obtained for a case when an initial distance between rays is much smaller than the correlation radius of fluctuations of dielectric permittivity.

Keywords: random media, ray diffusion, Einstein-Fokker equation.

PACS: 41.20.Jb.

*Received 2 May 2010.*English version: *Moscow University Physics Bulletin* 2(2011).**Сведения об авторах**

1. Власова Ольга Кузьминична — канд. физ.-мат. наук, мл. науч. сотр.; e-mail: vlasovaok@mail.ru.

2. Приходько Лидия Ивановна — канд. физ.-мат. наук, ст. науч. сотр.; e-mail: l.prikhodko@mail.ru.